

CODES GÉOLOGIQUES

| | |
|------|-----------------------|
| H8 | Porphyre télique veau |
| H9 | Granodiorite |
| H10 | Tonalite |
| H11 | Troctolite |
| H12 | Gabbro |
| H13 | Diabase |
| H14 | Gabbro à quartzite |
| H15 | Paragneiss |
| H16 | Schiste |
| H17 | Marbre |
| H18 | Albite |
| H19 | Chlorite |
| H20 | Diabase |
| H21 | Gabbro à quartzite |
| H22 | Paragneiss |
| H23 | Schiste |
| H24 | Marbre |
| H25 | Albite |
| H26 | Chlorite |
| H27 | Diabase |
| H28 | Gabbro à quartzite |
| H29 | Paragneiss |
| H30 | Schiste |
| H31 | Marbre |
| H32 | Albite |
| H33 | Chlorite |
| H34 | Diabase |
| H35 | Gabbro à quartzite |
| H36 | Paragneiss |
| H37 | Schiste |
| H38 | Marbre |
| H39 | Albite |
| H40 | Chlorite |
| H41 | Diabase |
| H42 | Gabbro à quartzite |
| H43 | Paragneiss |
| H44 | Schiste |
| H45 | Marbre |
| H46 | Albite |
| H47 | Chlorite |
| H48 | Diabase |
| H49 | Gabbro à quartzite |
| H50 | Paragneiss |
| H51 | Schiste |
| H52 | Marbre |
| H53 | Albite |
| H54 | Chlorite |
| H55 | Diabase |
| H56 | Gabbro à quartzite |
| H57 | Paragneiss |
| H58 | Schiste |
| H59 | Marbre |
| H60 | Albite |
| H61 | Chlorite |
| H62 | Diabase |
| H63 | Gabbro à quartzite |
| H64 | Paragneiss |
| H65 | Schiste |
| H66 | Marbre |
| H67 | Albite |
| H68 | Chlorite |
| H69 | Diabase |
| H70 | Gabbro à quartzite |
| H71 | Paragneiss |
| H72 | Schiste |
| H73 | Marbre |
| H74 | Albite |
| H75 | Chlorite |
| H76 | Diabase |
| H77 | Gabbro à quartzite |
| H78 | Paragneiss |
| H79 | Schiste |
| H80 | Marbre |
| H81 | Albite |
| H82 | Chlorite |
| H83 | Diabase |
| H84 | Gabbro à quartzite |
| H85 | Paragneiss |
| H86 | Schiste |
| H87 | Marbre |
| H88 | Albite |
| H89 | Chlorite |
| H90 | Diabase |
| H91 | Gabbro à quartzite |
| H92 | Paragneiss |
| H93 | Schiste |
| H94 | Marbre |
| H95 | Albite |
| H96 | Chlorite |
| H97 | Diabase |
| H98 | Gabbro à quartzite |
| H99 | Paragneiss |
| H100 | Schiste |

SYMBOLES STRUCTURAUX

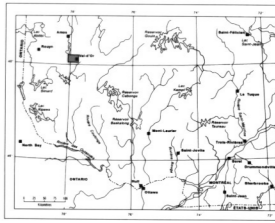
- Petit affleurement, grand affleurement
- Contact géologique: si certain, si incertain
- Stratification et pendage
- Schistoseité S₁
- Schistoseité S₂, S₃
- Chapeau escarpé (S₁, S₂)
- Libération d'élement
- Libération minérale
- Failles observées localement: à droite, si verticale; à gauche, si horizontale
- Contact: veau, majeur, zone tectonique
- Plis: anticlinal, plissement
- Regard structural
- Placard
- Synthèse et anticlinal de première phase P₁, position renversée
- Synthèse et anticlinal P₂, système et antiforme P₂
- Rive
- Puits d'exploitation: si vertical, si abandonné

CODES DES MINÉRAUX

| | | | |
|----|-----------|----|--------------|
| ce | Calcite | pg | Pyrophyllite |
| cl | Chlorite | qz | Quartz |
| fs | Feldspath | tr | Talc |
| mg | Magnésite | | |

SYMBOLES TEXTURAUX, STRUCTURAUX OU AUTRES

| | | | |
|---|------------------------|---|---------------------------|
| ○ | Coussin | ○ | Lamination parallèle |
| ■ | Massif | ○ | Boudinage |
| □ | Porphyro | ○ | Laminations entrecroisées |
| ○ | Amphigène | ○ | Porphyro |
| ■ | Coussin massifs grenus | ○ | Boule d'apodite |
| ○ | Coussin fragmenté | ○ | Gîte d'or |
| ○ | Schistose | ○ | Sphérolite |



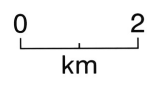
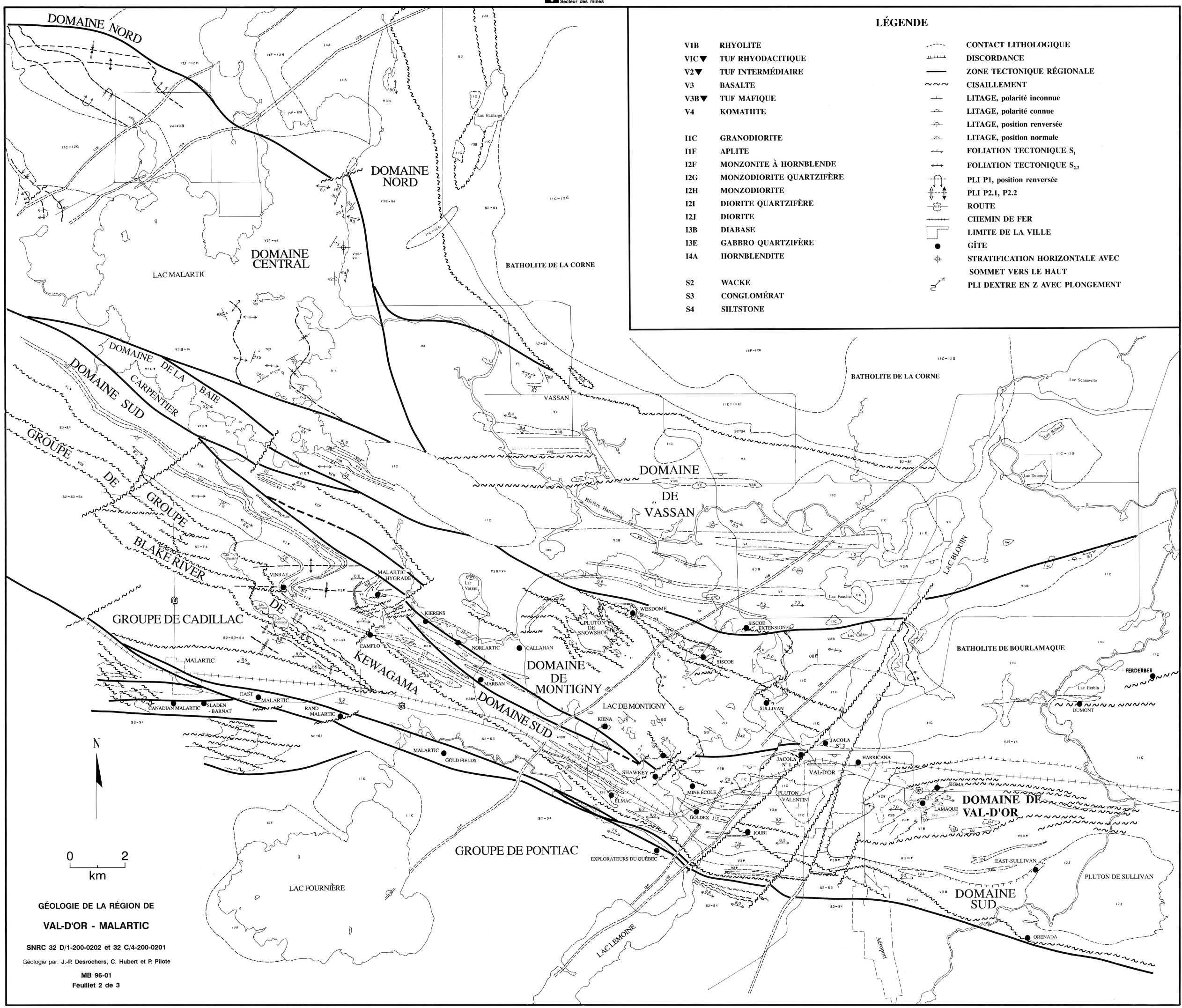
Echelle 1:50 000

GÉOLOGIE DE LA RÉGION DE VAL-D'OR-MALARTIC

SNRC 32 D/01-200-0202 et 32 C/04-200-0201
Géologie par J.-P. Desrochers, C. Hubert et P. Pilote

LÉGENDE

- | | | | |
|-----|--------------------------|--|--|
| V1B | RHYOLITE | | CONTACT LITHOLOGIQUE |
| V1C | TUF RHYODACITIQUE | | DISCORDANCE |
| V2 | TUF INTERMÉDIAIRE | | ZONE TECTONIQUE RÉGIONALE |
| V3 | BASALTE | | CISAILLEMENT |
| V3B | TUF MAFIQUE | | LITAGE, polarité inconnue |
| V4 | KOMATIITE | | LITAGE, polarité connue |
| | | | LITAGE, position renversée |
| | | | LITAGE, position normale |
| I1C | GRANODIORITE | | FOLIATION TECTONIQUE S ₁ |
| I1F | APLITE | | FOLIATION TECTONIQUE S ₂ |
| I2F | MONZONITE À HORNBLENDE | | PLI P1, position renversée |
| I2G | MONZODIORITE QUARTZIFÈRE | | PLI P2.1, P2.2 |
| I2H | MONZODIORITE | | ROUTE |
| I2I | DIORITE QUARTZIFÈRE | | CHEMIN DE FER |
| I2J | DIORITE | | LIMITE DE LA VILLE |
| I3B | DIABASE | | GÎTE |
| I3E | GABBRO QUARTZIFÈRE | | STRATIFICATION HORIZONTALE AVEC SOMMET VERS LE HAUT |
| I4A | HORNBLENDITE | | PLI DEXTRE EN Z AVEC PLONGEMENT |
| S2 | WACKE | | |
| S3 | CONGLOMÉRAT | | |
| S4 | SILTSTONE | | |



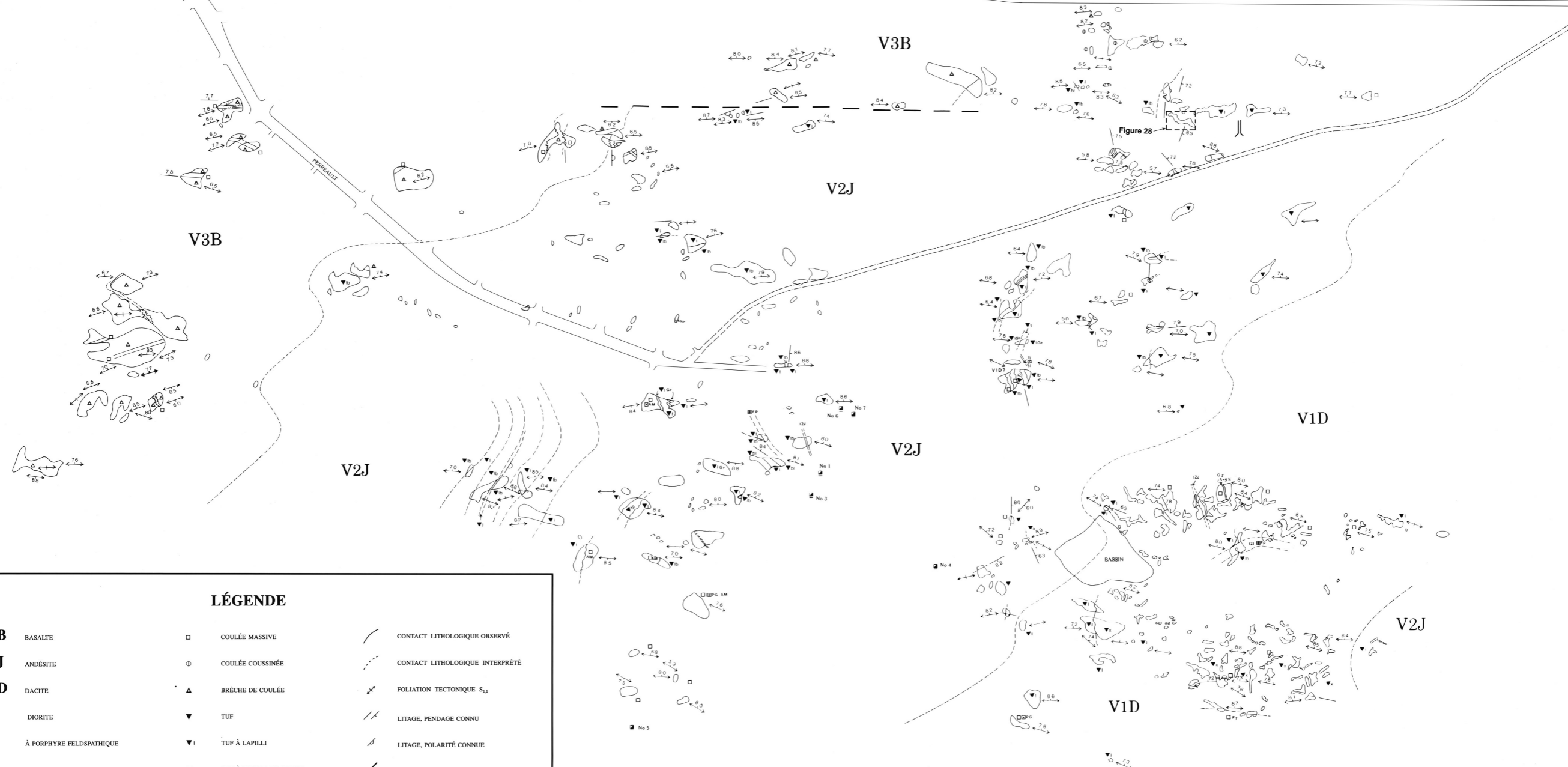
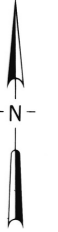
GÉOLOGIE DE LA RÉGION DE
VAL-D'OR - MALARTIC

SNRC 32 D/1-200-0202 et 32 C/4-200-0201

Géologie par: J.-P. Desrochers, C. Hubert et P. Pilote

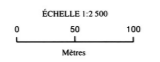
MB 96-01
Feuillet 2 de 3

GÉOLOGIE DE LA PROPRIÉTÉ DE LA MINE LAMAQUE



LÉGENDE

| | | | | | |
|------------|--------------------------|-----|------------------------|-------|---------------------------------------|
| V3B | BASALTE | □ | COULÉE MASSIVE | — | CONTACT LITHOLOGIQUE OBSERVÉ |
| V2J | ANDÉSITE | ⊖ | COULÉE COUSSINÉE | - - - | CONTACT LITHOLOGIQUE INTERPRÉTÉ |
| V1D | DACITE | △ | BRÈCHE DE COULÉE | ↗ | FOLIATION TECTONIQUE S _{1,2} |
| I2J | DIORITE | ▼ | TUF | ↖ | LITAGE, PENDAGE CONNU |
| FP | À PORPHYRE FELDSPATHIQUE | ▼i | TUF À LAPILLI | ↗ | LITAGE, POLARITÉ CONNUE |
| □ | PORPHYRIQUE | ▼ib | TUF À LAPILLI ET BLOCS | — | ZONE DE FAILLE |
| AM | AMPHIBOLE | ▼bi | TUF À BLOCS ET LAPILLI | — | FAILLE MINEURE |
| Gr | GROSSIER | ▼x | TUF À CRISTAUX | ■ | PUITS DE MINES |
| PG | PLAGIOCLASE | | | — | RAMPE D'ACCÈS |
| Py | PYRITE | | | | |
| Qz | QUARTZ | | | | |



GÉOLOGIE DE LA RÉGION DE VAL-D'OR - MALARTIC

SNRC 32 C/4-200-0201 (Partie de)
Géologie par: J.-P. Desrochers, C. Hubert et P. Pilote
MB 96-01
Feuillet 3 de 3